

دانشگاه مازندران

دانشکده شیمی

پیان نامه کارشناسی ارشد رشته شیمی معدنی

موضوع :

تهیه و خالص سازی 5 - (دود سیل پیریدینیوم - 4 - ایل) -

10، 15، 20 ، تریس (متیل پیریدینیوم 4 - ایل) پورفیرین و

برخی از کمپلکس‌های فلزی آن و مطالعه خواص محلول در آپ

و بر همکنش آنها با DNA

استاد راهنما :

عباس اسلامی

نگارش :

سمیه ذبیح ا... زاده سما گوش

شهریور 1387

چکیده:

در این تحقیق سنتر و خالص‌سازی مشتق مونودودسیل ترکیب ترا پیریدیل پورفیرین (1-دودسیل پیریدینیوم-4-ایل)-10، 15، 20- تریس پیریدیل پورفیرین برمید (MDPyP) شرح داده شد و سپس از آنکیلدار کردن MDPyP بهوسیله یدومتان، پورفیرین نامتقارن محلول در آب ۱-دودسیل پیریدینیوم-4-ایل)-10، 15، 20- تریس(1-متیل پیریدینیوم-4-ایل) پورفیرین کلرید (MDTMPyP) تهیه گردید و کمپلکس‌های فلزی مس (II) و نیکل (II) و منگنز (III) آن از طریق واکنش فلزدار کردن MDTMPyP در آب بدست آمد. سپس خواص محلول در آب و برهمکش این پورفیرینهای محلول در آب با سدیم دودسیل سولفات (SDS) و دزوکسی ریبونوکلئیک اسید (DNA) با استفاده از طیف‌سنجدی جذبی، نشرفلوئورسانس و پراکندگی تشخیص یافته نور (RLS) مورد مطالعه قرار گرفته است. نتایج نشان می‌دهد که پورفیرینهای فوق در قدرت یونی پایین به صورت مونومر و در قدرت یونی بالا انبوه‌های بی‌نظم تشکیل می‌دهند. طیف جذبی محلول آبی کمپلکس نیکل (II) ترکیب MDTMPyP در دماهای مختلف نشان داد که بین گونه چهار کوئوردینه و شش کوئوردینه تعادل برقرار است که با افزایش دما تعادل به سمت گونه چهار کوئوردینه مربع مسطح جابجا می‌شود. بررسی طیفی SDS با پورفیرینهای فوق نشان می‌دهد که افزایش اولیه غلظت SDS به محلول آبی پورفیرین سبب تشکیل انبوه‌ش پورفیرین-سورفتات است با ساختار منظم نوع H و J می‌شود و با افزایش غلظت SDS بالای نقطه (CMC)، مونومر مایسلی تشکیل می‌شود (پورفیرینها به صورت مونومر در داخل مایسل قرار می‌گیرند). مطالعات برهمکنش پورفیرینهای فوق با DNA نشان داد که MDTMPyP به صورت بین رشته‌ای و کمپلکس‌های CuMDTMPyP، NiMDTMPyP و MnMDTMPyP به صورت اتصالات خارجی بر سطح DNA انبوه ش می‌یابند. اندازه گیریهای حاصل از طیف جذبی، RLS و نشرفلوئورسانس سه گونه مختلف از پورفیرینها را در برهمکنش با DNA نشان می‌دهند که بستگی به نسبت غلظت

پورفیرین به DNA دارد. این گونه‌ها شامل پورفیرینهای مونومری، مونومرهای باند یافته به DNA و پورفیرینهای انبوهش یافته بر سطح DNA می‌باشند.

واژه‌های کلیدی

پورفیرین محلول در آب، متالوپورفیرین، SDS، Ct.DNA، خودانبوهش، پراکنده‌گی تشدید یافته نور.

فهرست مطالب

صفحه

عنوان

فصل اول - مباحث نظری و کلیات

1 ۱-۱-۱ پورفیرینها و متالوپورفیرینها
..... 1 ۱-۱-۱-۱ ساختار و خواص پورفیرینها
..... 5 ۱-۱-۱-۲ ستز پورفیرینها
..... 6 ۱-۱-۳-۱ متالو پورفیرینها و اهمیت آنها در طبیعت و پزشکی
..... 10 ۱-۱-۴-۱ انبوهش
11 ۱-۱-۵-۱ انبوهش نوع H و J
13 ۱-۱-۶-۱ طیف جذبی پورفیرینها و متالو پورفیرینها
17 ۱-۲-۱ پراکندگی تشدید یافته نور (RLS)
19 ۱-۳-۱ طیف نشری پورفیرینها و برخی از متالو پورفیرینها
19 ۱-۳-۱-۱ انتقالات
21 ۱-۴-۱ مایسلها و سورفکتانتها
25 ۱-۴-۱-۱ برهمکنش پورفیرین - مایسل
27 ۱-۵-۱ DNA و ساختار آن
28 ۱-۵-۱-۱ مارپیچ دو رشته‌ای DNA
30 ۱-۵-۱-۲ اشکال فضایی DNA
30 ۱-۵-۱-۳ برهمکنش پورفیرین با DNA
33 ۱-۶-۱ اهداف تحقیق

فصل دوم - مواد و روشها

36 ۲-۱-۱ مواد مورد استفاده
37 ۲-۲ دستگاههای مورد استفاده

فهرست مطالب

صفحه		عنوان
	3-2- سنتز و خالص سازی پورفیرینها
38	1-3-2- سنتز و خالص سازی 5-(1-دو دسیل پیریدینیوم-4-ایل)-10، 15، 20- تریس پیریدیل
38	پورفیرین بر مید
	2-3-2- سنتز و خالص سازی 5-(1-دو دسیل پیریدینیوم-4-ایل)-10، 15، 20- تریس (1-متیل پیریدینیوم-4-ایل) پورفیرین
39	کلرید
40	3-3-2- روش عمومی برای تهیه و خالص سازی کمپلکس‌های فلزی MDTMPyP
40	4-2- روشها
40	1-4-2- تهیه بافر فسفات $pH = 7/6$ و قدرت یونی 0/025 مولار
40	2-4-2- آزمایش بررسی قانون بیر لامبرت در محلول آبی پورفیرینها
41	3-4-2- آزمایش بررسی قانون بیر لامبرت در محلول آبی پورفیرینها با غلظتها م مختلف نمک (NaCl)
42	4-4-2- آزمایش اثر نمک بر طیف جذبی پورفیرینها
42	5-4-2- آزمایش اثر نمک بر طیف نشری MDTMPyP
43	6-4-2- آزمایش اثر نمک بر طیف RLS پورفیرینها
44	7-4-2- روش تصحیح طیف RLS پورفیرینها
47	8-4-2- آزمایش اثر دما بر طیف جذبی
47	9-4-2- آزمایش اثر SDS بر طیف جذبی پورفیرینها
48	10-4-2- آزمایش اثر SDS بر طیف نشری MDTMPyP
49	11-4-2- آزمایش اثر SDS بر طیف RLS پورفیرینها
49	12-4-2- مطالعه برهمکنش پورفیرینها با DNA
49	1-12-4-2- آزمایش اثر DNA بر طیف جذبی پورفیرینها

فهرست مطالب

	عنوان
	صفحه
50 آزمایش اثر DNA بر طیف نشری MDTMPyP
51 آزمایش اثر DNA بر طیف RLS پورفیرینها

فصل سوم - بحث و نتیجه‌گیری

	1-1-3- سنتز پورفیرینها
53 1-3- سنتز و خالص‌سازی 5-(1-دوسدیل پیریدینیوم-4-ایل)-10، 15، 20-تریس(1-متیل پیریدینیوم-4-ایل) پورفیرین
54 کلرید
56 2-1-3- نتایج ^1H NMR ترکیب MDPyP
57 3-1-3- نتایج ^1H NMR ترکیب MDTMPyP
58 4-1-3- نتایج UV-Vis
60 5-3-2- نتایج آنالیز عنصری MDTMPyP
61 3-2-3- رفتار پورفیرینها و متالوپورفیرینها در محلولهای آبی
61 1-2-3- طیف جذبی
61 1-1-2-3- اثر قدرت یونی بر انبوهش مستقل از غلظت
66 2-1-2-3- اثر قدرت یونی بر انبوهش وابسته به غلظت
67 2-2-3- طیف نشری
67 1-2-2-3- اثر نمک بر طیف نشری
68 3-2-3- طیف RLS
68 1-3-2-3- اثر نمک بر طیف RLS
71 4-2-3- اثر دما بر طیف جذبی محلول آبی پورفیرینها
73 3-3- مطالعه برهمکنش محلول آبی پورفیرینها و متالوپورفیرینها با سدیم دوسدیل سولفات (SDS)
74 1-3-3- بررسی تغییرات طیف جذبی پورفیرینها و متالوپورفیرینها در برهمکنش با SDS

فهرست مطالب

صفحه	عنوان
.....	MDTMPyP -1-1-3-3
.....	CuMDTMPyP -2-1-3-3
.....	NiMDTMPyP -3-1-3-3
.....	MnMDTMPyP -4-1-3-3
.....	2-3-3- بررسی تغیرات طیف نشري MDTMPyP در برهmekش با SDS
.....	3-3-3- بررسی تغیرات طیف RLS پورفیرینها و متالوپورفیرینها در بر همکنش با SDS
.....	MDTMPyP -1-3-3-3
.....	NiMDTMPyP -2-3-3-3
.....	MnMDTMPyP -3-3-3-3
.....	CuMDTMPyP -4-3-3-3
.....	4-3- مطالعه برهmekش محلول آبی پورفیرینها و متالوپورفیرینها با دزوکسی ریبونوکلئیک اسید (DNA)
.....	1-4-3- بررسی تغیرات طیف جذبی محلول آبی پورفیرینها و متالوپورفیرینها در اثر برهmekش با DNA
.....	MDTMPyP -1-1-4-3
.....	CuMDTMPyP -2-1-4-3
.....	NiMDTMPyP -3-1-4-3
.....	MnMDTMPyP -4-1-4-3
.....	2-4-3- بررسی تغیرات طیف نشري محلول آبی MDTMPyP در برهmekش با DNA
.....	3-4-3- بررسی تغیرات طیف RLS پورفیرینها و متالوپورفیرینها در برهmekش با DNA
.....	5-3- نتیجه گیری
115	6-3- پیشنهاد برای آینده

فهرست شکلها

صفحه	عنوان
1	شکل 1-1- ساختار پورفین
2	شکل 1-2- ساختار شیمیایی پورفیرینهای کاهش یافته: کلرین ، باکتریوکلرین و کورین
3	شکل 1-3-1- فلورین 2- پورفیرینوژن
3	شکل 1-4- شمای الکترونهای π غیر مستقر (a) حالت باز آزاد (b) حالت دی آئیون (c) حالت متالو کمپلکس
5	شکل 1-5- شمایی از موقعیتهای استخلاف پذیر مولکول پورفیرین
7	شکل 1-6- ساختار سیتوکروم C
8	شکل 1-7- ساختار مولکولی همو گلوبین
8	شکل 1-8- ساختار مولکولی ویتامین B_{12}
8	شکل 1-9- ساختار مولکولی کلروفیل
10	شکل 1-10- نانوتریلر پورفیرینی با چرخهای کربوران
11	شکل 1-11- آرایش مونومرها در انبوهش مولکول
12	شکل 1-12- تکه ای از انبوهش نوع J
12	شکل 1-13- آرایش واحدهای پورفیرین در H-Dیمر (a)، J-Dیمر (b) و (c) انبوهش نوع J
14	شکل 1-14- نوار های جذبی Q و سورت در پورفیرین
15	شکل 1-15- سطوح انرژی و انتقالات الکترونی در پورفیرینها a) نوار جذبی B(Soret) و b) نوار جذبی Q
20	شکل 1-16- نمودار انتقالات در لومینسانس
20	شکل 1-17- نمودار انتقالات در طیف جذبی و نشری پورفیرین
21	شکل 1-18- اشکال مختلف آمفی فیلهای
23	شکل 1-19- ساختار برخی سورفاکтанتهای یونی و غیریونی

فهرست شکلها

صفحه

عنوان

شکل 1-20- نمایش شکل‌های مختلف مایسل نرمال در آب (مایسل، نوار چربخالی ¹ و نانولوله‌ها) و نمایش شکل‌های مختلف مایسل در تولوئن (مایسل معکوس، ویزیکولهای چند لایه‌ای و نانولوله‌ها)	24
شکل 1-21- جهت‌گیری مختلف پورفیرین در داخل مایسل معکوس و مایسل یونی	26
شکل 1-22- ساختار مولکولی نوکلئوتید...	27
شکل 1-23- نمایی از قسمتهای مختلف DNA	28
شکل 1-24- شیارهای کوچک و بزرگ DNA	29
شکل 1-25- از راست به چپ، برهمکنش خارجی از ناحیه شیار بزرگ DNA، برهمکنش خارجی همراه با انبوهش، برهمکنش خارجی از ناحیه شیار کوچک DNA	31
شکل 1-26- برهمکنش بین شیاری	31
شکل 1-27- ساختار مولکولی MDTMPyP	34
شکل 2-1- روشن سنتز (MDPyP)	39
شکل 2-2- روشن سنتز پورفیرین محلول در آب (MDTMPyP)	40
شکل 2-3- رابطه رایلی نرمال شده در 300 نانومتر	45
شکل 2-4- طیف RLS آب خالص (W)	46
شکل 2-5- تابع حساسیت دستگاه (K)	46
شکل 2-6- (الف) طیف RLS (Exp)، (ب) طیف RLS و (ج) طیف RLS محلول آبی	
پس از تصحیح مرتبه دوم (II) SLI در غلظتهاي مختلف CuMDTMPyP	4/12، 2/96، 2/41، 1/84، 0/63، 0/00:DNA
و 5/08 میکرومولار	47
شکل 3-1- TLC حاصل از مخلوط واکنش مونو آکلیل دار کردن TPyP	56

¹. Helical Ribbons

فهرست شکلها

صفحه	عنوان
57	شكل 3-2- طیف $^1\text{HNMR}$ 500MHz ترکیب MDPyP در حلال کلروفرم
58	شكل 3-3- طیف $^1\text{HNMR}$ 500MHz ترکیب MDTMPyP (MDTMPyP) در حلال DMSO
64	شكل 3-4- طیف جذبی محلول آبی NaCl به ترتیب از بالا به پایین
64	شكل 3-5- طیف جذبی محلول آبی CuMDTMPyP به ترتیب از بالا به پایین
65	شكل 3-6- طیف جذبی محلول آبی NiMDTMPyP به ترتیب از بالا به پایین NaCl
65	شكل 3-7- طیف جذبی محلول آبی MnMDTMPyP به ترتیب از بالا به پایین NaCl
66	شكل 3-8- نمودار تغییرات حداکثر طول موج نوار سورت (الف)، تغییرات حداکثر جذب نوار سورت (ب) و تغییرات حداکثر عرض نوار جذبی سورت محلول آبی پورفیرینها، با افزایش غلظت NaCl
67	شكل 3-9- منحنی کالیبراسیون و تغییرات نوار جذبی MDTMPyP با افزایش غلظت پورفیرین در محلول نمک 4 مولار
69	شكل 3-10- طیف نشری محلول آبی MDTMPyP در غلظتهای مختلف NaCl به ترتیب از بالا به پایین
70	شكل 3-11- طیف RLS محلول آبی MDTMPyP در غلظتهای مختلف NaCl از پایین به بالا به ترتیب از 0/00 تا 4/00 مولار
71	شكل 3-12- طیف RLS محلول آبی NiMDTMPyP از پایین به بالا به ترتیب از 0/00 تا 4/00 مولار
71	شكل 3-13- طیف RLS محلول آبی MnMDTMPyP از پایین به بالا به ترتیب از 0/00 تا 4/00 مولار

فهرست شکلها

صفحه

عنوان

72	مولار 4/00 طیف RLS محلول آبی (2/90 $\times 10^{-6}$) CuMDTMPyP در غلظت‌های مختلف NaCl از 0/00 تا 4/00 مولار
73	شکل 3-15- طیف جذبی محلول آبی NiMDTMPyP (3/18 میکرومولار) در دماهای مختلف به ترتیب از: 10، 20، 30، 40، 50 درجه سانتیگراد
76	شکل 3-16- طیف جذبی محلول آبی MDTMPyP (4/5 $\times 10^{-6}$) در بافر فسفات pH=7/6 و قدرت یونی 0/025 مولار، غلظت‌های مختلف SDS و دمای 25°C
78	شکل 3-17- طیف جذبی (نوار Q) محلول آبی (4/5 $\times 10^{-6}$) MDTMPyP در بافر فسفات pH=7/6 و قدرت یونی 0/025 مولار، در غلظت‌های مختلف SDS و دمای 25°C
80	شکل 3-18- طیف جذبی محلول آبی (2/0 $\times 10^{-6}$) CuMDTMPyP در بافر فسفات pH=7/6 و قدرت یونی 0/025 مولار، در غلظت‌های مختلف SDS و دمای 25°C
81	شکل 3-19- طیف جذبی (نوار Q) محلول آبی (2/0 $\times 10^{-6}$) CuMDTMPyP در بافر فسفات pH=7/6 و قدرت یونی 0/025 مولار، در غلظت‌های مختلف SDS و دمای 25°C
84	شکل 3-20- طیف جذبی محلول آبی (4/7 $\times 10^{-6}$) NiMDTMPyP در بافر فسفات pH=7/6 و قدرت یونی 0/025 مولار، در غلظت‌های مختلف SDS و دمای 25°C

فهرست شکلها

صفحه	عنوان
	شکل 3-21- طیف جذبی (نوار Q) محلول آبی ($4/7 \times 10^{-6}$ مولار) در بافر فسفات $pH = 7/6$ و قدرت یونی $0/025$ مولار، در غلظت های مختلف SDS و دمای $25^{\circ}C$
85 $0/1 (7)$ ، $1/0 \times 10^{-2} (6)$ ، $5/0 \times 10^{-4} (5)$ ، $3/0 \times 10^{-5}$ مولار
	شکل 3-22- طیف جذبی محلول آبی ($6/25 \times 10^{-6}$ مولار) در بافر فسفات $pH = 7/6$ و قدرت یونی $0/025$ مولار، در غلظت های مختلف SDS و دمای $25^{\circ}C$
86 $0/1 (5)$ مولار
	شکل 3-23- طیف جذبی محلول آبی ($6/25 \times 10^{-6}$ مولار) در بافر فسفات $pH = 7/6$ و قدرت یونی $0/025$ مولار در غلظت های مختلف SDS و دمای $25^{\circ}C$
88 $0/1 (5)$ مولار
	شکل 3-24- طیف جذبی محلول آبی ($4/5 \times 10^{-6}$ مولار) در بافر فسفات $pH = 7/6$ و قدرت یونی $0/025$ مولار، در غلظت های مختلف SDS و دمای $25^{\circ}C$
89 مولار
	شکل 3-25- طیف RLS (تصحیح شده) محلول آبی ($4/5 \times 10^{-6}$ مولار) در غلظت های مختلف SDS به ترتیب از ۱ تا ۶ مولار
91 $0/1 (6)$ ، $5/0 \times 10^{-4} (5)$ ، $5/0 \times 10^{-5} (4)$ ، $1/0 \times 10^{-5} (3)$ ، $5/0 \times 10^{-6} (2)$ ، $0/0 (1)$ ، ۶ مولار
91	شکل 3-26- نمودار لگاریتمی تغییرات SLI در ۴۲۰ نانومتر نسبت به علاظتهای مختلف SDS
	شکل 3-27- طیف RLS (تصحیح شده) محلول آبی ($4/7 \times 10^{-6}$ مولار) در غلظت های مختلف SDS به ترتیب از ۱ تا ۶ مولار
92 $0/1 (6)$ ، $5/0 \times 10^{-4} (5)$ ، $5/0 \times 10^{-5} (4)$ ، $3/0 \times 10^{-5} (3)$ ، $5/0 \times 10^{-6} (2)$ ، $0/0 (1)$ ، ۶ مولار
93	شکل 3-28- نمودار تغییرات لگاریتمی SLI در ۴۲۰ نانومتر نسبت به علاظتهای مختلف SDS
	شکل 3-29- طیف RLS (تصحیح شده) محلول آبی ($6/25 \times 10^{-6}$ مولار) در غلظت های مختلف SDS به ترتیب از ۱ تا ۶ مولار
94 $0/1 (6)$ ، $5/0 \times 10^{-4} (5)$ ، $1/0 \times 10^{-4} (4)$ ، $5/0 \times 10^{-5} (3)$ ، $5/0 \times 10^{-6} (2)$ ، $0/0 (1)$ ، ۶ مولار

فهرست شکلها

صفحه	عنوان
95	شكل 3-30- نمودار لگاریتمی تغییرات SLI در 460 نانومتر نسبت به علاظتهای مختلف SDS
96	شكل 3-31- طیف RLS (تصحیح شده) (CuMDTMPyP محلول آبی $2/0 \times 10^{-6}$ مولار) در غلاظتهای مختلف SDS به ترتیب از 1 تا 6 مولار
97	شكل 3-32- نمودار لگاریتمی تغییرات SLI در 420 نانومتر نسبت به علاظتهای مختلف SDS
101	شكل 3-33- طیف جذبی ((الف) نوار سورت (ب) نوار Q) MDTMPyP (2/97 میکرومولار) در بافر فسفat pH=7/6 و قدرت یونی 0/025 و دمای 24°C در غلاظتهای مختلف DNA؛ به ترتیب از بالا به پایین : 0/00, 0/02, 0/062, 0/13, 0/23, 0/92, 2/13, 2/42, 2/71, 2/99, 3/56, 4/39, 5/72, 5/72 و 7/72 میکرومولار
101	شكل 3-34- نمودار [DNA] _i /[DNA] _f بر حسب ترکیب MDTMPyP (2/97 میکرومولار) در قدرت یونی 0/025 مولار و دمای 24°C
103	شكل 3-35- طیف جذبی نوار سورت CuMDTMPyP (4/72 میکرومولار) در بافر فسفat pH=7/6 و قدرت یونی 0/025 و دمای 24°C در غلاظتهای مختلف DNA؛ به ترتیب از بالا به پایین : 0/00, 0/32, 0/63, 0/94, 1/25, 1/55, 1/84 و 5/76 میکرومولار
104	شكل 3-36- طیف جذبی نوار سورت NiMDTMPyP (4/39 میکرومولار) در بافر فسفat pH=7/6 و قدرت یونی 0/025 و دمای 24°C در غلاظتهای مختلف DNA؛ به ترتیب از بالا به پایین : 0/00, 0/29, 0/72, 0/95, 1/15, 1/56, 1/84 و 9/56 میکرومولار
105	شكل 3-37- طیف جذبی نوار سورت MnMDTMPyP (6/54 میکرومولار) در بافر فسفat pH=7/6 و قدرت یونی 0/025 و دمای 24°C در غلاظتهای مختلف DNA؛ به ترتیب از بالا به پایین : 0/00, 0/34, 0/68, 1/01, 1/34, 1/81, 2/27, 2/87, 3/58, 4/27, 5/55, 6/72, 7/81, 8/82 و 9/75 میکرومولار.

فهرست شکلها

صفحه

عنوان

- شکل 3-38- طیف نشری محلول آبی MDTMPyP (3/04 میکرومولار) در بافر فسفات pH=7/6 و قدرت یونی 0/025 مولار، در غلظتهای مختلف DNA؛ به ترتیب از 1 تا 6: 0/00، 1/57، 2/13، 4/39 و 7/72 میکرومولار 107
- شکل 3-39- طیف RLS محلول آبی MDTMPyP (2/97 میکرومولار) در بافر فسفات pH=7/6 و قدرت یونی 0/025 مولار، در غلظتهای مختلف DNA، 109
- شکل 3-40- طیف RLS محلول آبی CuMDTMPyP (4/72 میکرومولار) در بافر فسفات pH=7/6 و قدرت یونی 0/025 مولار در غلظتهای مختلف DNA: 0/00، 0/31، 1/20، 2/83، 6/53، 9/14 و 11/90 میکرومولار 110
- شکل 3-41- طیف RLS محلول آبی NiMDTMPyP (4/39 میکرومولار) در بافر فسفات pH=7/6 و قدرت یونی 0/025 مولار در غلظتهای مختلف DNA: 0/00، 0/72، 0/00، 1/56، 2/34، 4.88، 5/88، 7/25 و 9/56 میکرومولار 110
- شکل 3-42- طیف RLS محلول آبی MnMDTMPyP (6/54 میکرومولار) در بافر فسفات pH=7/6 و قدرت یونی 0/025 مولار در غلظتهای مختلف DNA؛ 0/00، 1/34، 2/27، 3/58، 5/55 و 6/72 میکرومولار 111
- شکل 3-43- ساختار مسطح مربع کمپلکس مس (II) 113
- شکل 3-44- ساختار کمپلکس منگنز (III) 113
- شکل 3-45- (الف) ساختارهای شش کوئوردینه، ب) چهار کوئوردینه کمپلکس نیکل (III) 114

ظ

فهرست جدولها

صفحه	عنوان
41	جدول 2-1- گستره غلظت پورفیرینها در آزمایش بررسی قانون بیر لامبرت در محلول آبی پورفیرینها
41	جدول 2-2- گستره غلظت MDTMPyP در آزمایش بررسی قانون بیر لامبرت در غلظتهای مختلف نمک
42	جدول 2-3- غلظت پورفیرینها در آزمایش اثر NaCl بر طیف جذبی
43	جدول 2-4- شرایط آزمایش اثرنمک بروی طیف نشري MDTMPyP
43	جدول 2-5- شرایط آزمایش اثرنمک بروی طیف RLS پورفیرینها در آب
47	جدول 2-6- غلظت پورفیرینها در آزمایش اثر دما بروی طیف جذبی
48	جدول 2-7- غلظت پورفیرینها در آزمایش اثر SDS بر طیف جذبی در گستره غلظتی SDS از $1/00 \times 10^{-6}$ تا مولار
48	جدول 2-8- غلظت پورفیرین در آزمایش اثر SDS بر طیف نشري
49	جدول 2-9- غلظت پورفیرینها در آزمایش اثر SDS بر طیف RLS
50	جدول 2-10- شرایط آزمایش اثر DNA بر طیف جذبی پورفیرینها در بافر فسفات 10 میلی مولار، $pH = 7/6$ و قدرت یونی 0/025 مولار
50	جدول 2-11- شرایط آزمایش اثر MDTMPyP در بافر فسفات 10 میلی مولار $pH = 7/6$ و قدرت یونی 0/025 مولار
51	جدول 2-12- شرایط آزمایش اثر RLS DNA در بافر فسفات 10 میلی مولار، $pH = 7/6$ و قدرت یونی 0/025 مولار
58	جدول 3-1- نتایج MDTMPyP UV-Vis
58	جدول 3-2- نتایج CuMDTMPyP UV-Vis
58	جدول 3-3- نتایج NiMDTMPyP UV-Vis
59	جدول 3-4- نتایج MnMDTMPyP UV-Vis
59	جدول 3-5- نتایج MDTMPyP UV-Vis در غلظتهای مختلف نمک سدیم کلرید

فهرست جدولها

صفحه	عنوان
60	جدول 2-6- نتایج آنالیز عنصری
73	جدول 3-7- تغییرات طول موج حداکثر نوار سورت محلول آبی پورفیرینها با افزایش دما
78	جدول 3-8- اثر SDS بر حداکثر طول موج $4/5 \times 10^{-6}$ MDTMPyP در بافر فسفات $pH = 7/6$ و قدرت یونی 0/025 مولار
81	جدول 3-9- اثر SDS بر حداکثر طول موج $2/0 \times 10^{-6}$ CuMDTMPyP در بافر فسفات $pH = 7/6$ و قدرت یونی 0/025 مولار
83	جدول 3-10- اثر SDS بر حداکثر طول موج $4/7 \times 10^{-6}$ NiMDTMPyP در بافر فسفات $pH = 7/6$ و قدرت یونی 0/025 مولار
86	جدول 3-11- اثر SDS بر حداکثر طول موج $6/25 \times 10^{-6}$ MnMDTMPyP در بافر فسفات $pH = 7/6$ و قدرت یونی 0/025 مولار
105	جدول 3-12- پارامترهای اندازهگیری شده پورفیرینها در اتصال به DNA در دمای $24^{\circ}C$ و قدرت یونی 0/025 مولار

لیست عالیم و اختصارات

CTAB	Cetyl trimethyl ammonium bromide
SDS	Sodium dodecyl Sulfate
TX-100	Triton X-100
CMC	Critical micelle concentration
STM	Scanning tunneling microscopy
A	Adenine
G	Guanine
T	Thymine
C	Cytosine
TPyP	Tetrakis (4-pyridyl) porphyrin
MDTMPyP	5- (1-dodecyl pyridinium -4-yl) – 10,15,20-tri (pyridyl) porphyrin bromide
MDTMPyP	5- (1-dodecyl pyridinium -4-yl) – 10,15,20- tris (1- pyridinium -4-yl) porphyrin methyl chloride
DMF	N,N-dimethyl formamide
Ct-DNA	Calf thymus - Deoxyribonucleic acid
K _{app}	K _{apparent}

لیست عالیم و اختصارات

FWHM	Full width half maximum
cm^{-1}	Wave number
nm	Nanometer
M	Molar
NMR	Nuclear magnetic resonance
ppm	Part per million
MRI	Magnetic resonance imagine
PDT	Photo dynamic therapy
TPPS ₄	Meso- tetrakis (4-sulfanatophenyl) porphyrin
AFM	Atomic force microscopy
TEM	Transmission electron microscopy
HIV	Human immunodeficiency virus
HPLC	High performance liquid chromatography
UV	Ultraviolet
Vis	Visible
IR	Infrared

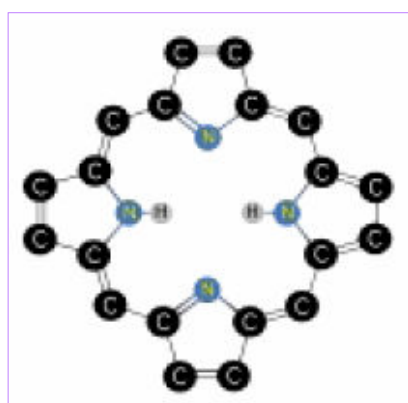
لیست عالیم و اختصارات

HOMO	Highest occupied molecular orbital
LUMO	Lowest unoccupied molecular orbital
LMCT	Ligand to metal charge transfer
S	Singlet
T	Triplet
CD	Circular dichroism
MCD	Magnetic circular dichroism
Abs	Absorption
Sca	Scattering
DNA	Deoxyribonucleic acid
SLI	Scattered light intensity
RLS	Resonance light scattering

۱-۱) پورفیرینها و متالوپورفیرینها

۱-۱-۱) ساختار و خواص پورفیرینها

پورفیرین ماکروسیکلی است که از ۴ حلقه پیرولی تشکیل شده که با پلهای متین ($=\text{CH}-$) به یکدیگر متصل شده‌اند. "پورفین" ساده‌ترین عضو خانواده پورفیرینهاست و اعضای دیگر خانواده پورفیرینها با جایگزینی استخلافهای پیرولی یا پل متینی آن حاصل می‌شوند. اولین پورفیرین توسط فیشر در اوایل قرن بیستم ساخته شد. نام پورفیرینها از واژه پارپل^۱ که به معنی ارغوانی می‌باشد گرفته شده است [۱].



شکل ۱-۱) ساختار پورفین

۱. Purple